



خواص ساختاری و مغناطیسی ذرات گارنت ایتریوم آهن با جانشانی یوروپیوم سنتز شده به روش سل-زل

سیده سوسن سادات احمدی^{۱*}، محمد نیایی فر^{۲**}، احمد حسن پور^۲

۱- گروه فیزیک، واحد علوم و تحقیقات خوزستان، دانشگاه آزاد اسلامی، اهواز، ایران

۲- گروه فیزیک، واحد اهواز، دانشگاه آزاد اسلامی، اهواز، ایران

(دریافت مقاله: ۹۵/۳/۱۵، نسخه نهایی: ۹۵/۳/۳)

چکیده: در این پژوهش پودرهای بس ریز گارنت ایتریوم آهن جانشانی شده با یوروپیوم با ترکیب $\text{Eu}_x\text{Y}_{3-x}\text{Fe}_5\text{O}_{12}$ و مقادیر جانشانی (۰/۰، ۰/۱، ۰/۲) به روش سل-زل تهیه شدند. تحلیل الگوهای پراش پرتو ایکس (XRD) ساختار تک فاز گارنت را در همهٔ نمونه‌ها تایید کرد. با استفاده از آنالیزهای Raman و Far-FTIR، تشکیل فاز گارنت در همهٔ نمونه‌ها مورد تأیید قرار گرفت. چرخه‌های پسماند بدست آمده از مغناطیس سنج نمونه‌ی ارتعاشی (VSM) نشان دهندهٔ کاهش مغناطیس اشباع با افزایش جانشانی یوروپیوم است. این تغییرات با استفاده از نظریه‌ی نیل و شکافتگی حاصل از کج شدگی اسپینی در هر یک از زیر شبکه‌های مغناطیسی پس از جانشانی یون Eu^{3+} در ساختار گارنت ایتریوم آهن توضیح داده شد.

واژه‌های کلیدی: سل-زل؛ گارنت ایتریوم آهن؛ یوروپیوم؛ بیناب سنج رامان؛ مغناطیس سنج نمونه ارتعاشی.

مقدمه [۷]. در این ساختار ۲۴ جایگاه $Ia\bar{3}d(O_h^{\cdot})$ وابسته است [۷]. در این دوازده وجهی $\{c\}$ ، ۱۶ جایگاه هشت وجهی $[a]$ و ۲۴ جایگاه چهاروجهی (d) وجود دارند که جایگاه‌های دوازده وجهی به وسیله‌ی یون ایتریوم و جایگاه‌های چهاروجهی (d) و هشت وجهی $[a]$ توسط یون‌های آهن اشغال شده‌اند بطوريکه گشتاورهای مغناطیسی جایگاه‌های a و d به شکل پادموازی نسبت به یکدیگر سمتگیری می‌کنند که در شکل ۱ نشان داده شده‌اند [۷، ۸]. با توجه به اینکه ویژگی‌های مغناطیسی در YIG ناشی از یون‌های آهن در جایگاه چهاروجهی و هشت وجهی است، می‌توان با جایگزین کردن کاتیون‌هایی با شعاع یونی و یا ویژگی‌ها مغناطیسی متفاوت به قابلیت‌های جدیدی از این ماده دست یافت. به نظر پژوهندگان تاکنون کاری پژوهشی برپایه‌ی جانشانی یون یوروپیوم در ساختار گارنت ایتریوم آهن گزارش نشده است. لذا بررسی ویژگی‌های ساختاری و

در سال‌های اخیر ذرات مغناطیسی گارنت ایتریوم آهن و ایتریوم آهن آلایش شده با عناصر مختلف به دلیل داشتن ویژگی‌های مغناطیسی، اپتیکی و الکترونیکی بسیار مورد توجه قرار گرفته‌اند. از کاربردهای متنوع این ذرات می‌توان به استفاده آنها در ابزارهای موج بری ناوارون، قطعات مجتمع اپتیکی، وسایل میکروموج، حافظه‌های مغناطیسی با کارایی‌های بسیار بالا، چرخندها و جداکننده‌ها اشاره کرد [۱۴-۱۶]. استفاده از گارنت‌ها تنها به موارد بالا محدود نمی‌شود بلکه حوزه‌های دیگری همچون فیلترهای نوری کوکپذیر، سیرکولاتورها و زیراتورها که همه در ناحیه‌ی میکروموج کار می‌کنند و نیز حافظه‌های رقمی از نوع حوزه‌های حبابی، از این مواد بهره می‌جویند [۱۵، ۱۶]. ساختار بلوری گارنت ایتریوم آهن (YIG) دارای تقارن مکعبی مرکز حجمی (bcc) و به گروه فضایی

$$D = 0.9\lambda/\beta \cos\theta \quad (1)$$

در رابطه بالا D بر حسب نانو متر، λ طول موج پرتو ایکس Cu-K_α (برابر با 15406 نانومتر)، θ زاویه براگ، β پهنهای قله در نیم شدت بیشینه (بر حسب رادیان) است که از رابطه زیر به دست می آید [۱۰]:

$$\beta = \sqrt{B_M^2 - B_s^2} \quad (2)$$

که در آن B_s پهنهای قله پراش وابسته به نمونه‌ای با اندازه‌ی بلورک‌های بزرگ‌تر از یک میکرون که از واگرایی پرتو ایکس به دست می‌آید که پهن‌شدگی دستگاهی خوانده می‌شود. B_M نیم قله‌ی پراش ماده‌ی اصلی است که برهی مده از ریز بودن ذرات و واگرایی پرتو ایکس XRD است.

اندازه ثابت شبکه نمونه‌ها با استفاده از رابطه زیر محاسبه شد:

$$a = \frac{\lambda \sqrt{h^2 + k^2 + l^2}}{2 \sin \theta} \quad (3)$$

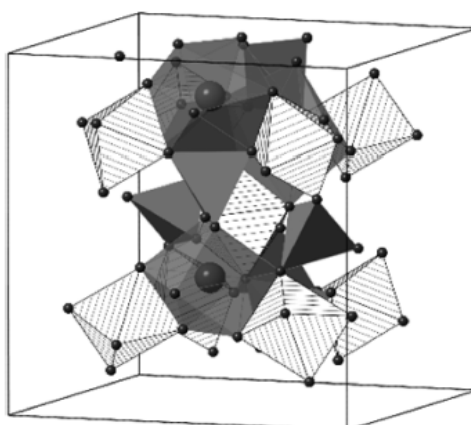
که در آن a بر حسب آنگستروم، λ طول موج پرتو ایکس Cu-K_α (برابر با 15406 نانومتر)، θ زاویه براگ در قله‌ی (۴۲۰) است.

ارتعاش‌ها در گستره‌ی عدد موج $150-700 \text{ cm}^{-1}$ با استفاده از Spectrum 400 Far-FTIR (Perkin Elmer) آمدند. بیتاب‌های رامان نمونه‌ها در گستره‌ی $1000-100 \text{ cm}^{-1}$ Almega Thermo Nicolet Dispersive مغناطیسی نمونه‌ها با مغناطیسی‌سنج نمونه ارتعاشی (VSM) ساخت شرکت Lake shore مدل 7400 مورد بررسی قرار گرفتند.

مغناطیسی YIG آلاییده شده با Eu^{3+} مطلوب به نظر می‌رسد. در این پژوهش عنصر Y^{3+} با عنصر خاکی نادر Eu^{3+} جانشانی شده و ذرات $\text{Eu}_x\text{Y}_{3-x}\text{Fe}_5\text{O}_{12}$ به روش سل-ژل تهیه شدند. Eu^{3+} یک یون مغناطیسی (پارامغناطیسی) است، بنابراین ویژگی‌های مغناطیسی YIG آلاییده شده با Eu^{3+} تغییر خواهد کرد. به همین دلیل ویژگی‌ها ساختاری و مغناطیسی ذرات $\text{Eu}_x\text{Y}_{3-x}\text{Fe}_5\text{O}_{12}$ در این پژوهش بررسی شدند.

روش ساخت

ذرات گارنت ایتریوم آهن جانشین شده با یوروپیوم با ترکیب $\text{Eu}_x\text{Y}_{3-x}\text{Fe}_5\text{O}_{12}$ و مقادیر جانشانی ($x=0.0, 1.0, 2.0$) به روش سل-ژل تهیه شدند. برای تهیه محلول نیم مولار مواد اولیه‌ی شامل نمک‌های نیترات ایتریوم $\text{Y}(\text{NO}_3)_3 \cdot 6\text{H}_2\text{O}$ (Aldrich 99.9%)، نیترات آهن $\text{Fe}(\text{NO}_3)_3 \cdot 9\text{H}_2\text{O}$ (Aldrich 99.99%) و نیترات یوروپیوم $\text{Eu}(\text{NO}_3)_3 \cdot 5\text{H}_2\text{O}$ (Aldrich 99.99%) طبق روابط موازن‌هه عنصری، در ۱۰۰ ml آب یون‌دایی شده حل شدند. سپس محلول اسید سیتریک $\text{C}_3\text{H}_8\text{O}_7 \cdot \text{H}_2\text{O}$ به این محلول اضافه شد. محلول سیترات به نیترات با نسبت ۱:۳ تنظیم شد. سپس برای دستیابی به $\text{pH} = 2$ آمونیاک به آن اضافه شد. محلول نهایی تا دمای 85°C گرمایی داده شد تا سل تولید شده به ژل تبدیل شود. سپس ژل بدست آمده در دمای 115°C به مدت ۴۸ ساعت در آون کاملاً خشک شد. در نهایت پودر خشک شده به منظور گرمادهی در دمای 1000°C به مدت ۳ ساعت در کوره الکتریکی قرار گرفت. الگوهای پراش پرتو ایکس (XRD) با استفاده از Rigaku 2013 تهیه شدند. از پهنهای قله (۴۲۰) قله‌های XRD و از رابطه دبای-شرر اندازه‌ی بلورک‌های مغناطیسی محاسبه شدند.

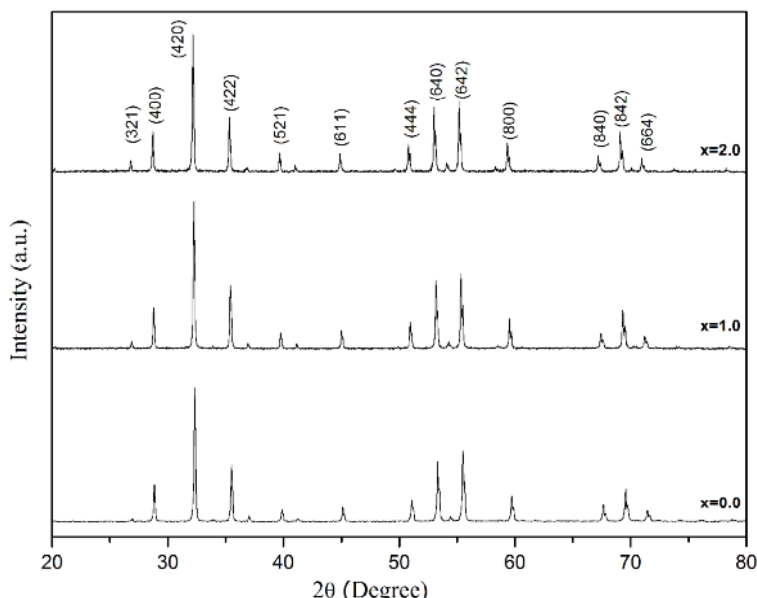


شکل ۱ ساختار مکعبی گارنت ایتریم آهن. چند وجهی‌های مت جایگاه دوازده‌وجهی، چند وجهی‌های نشان داده شده با خطوط تیره جایگاه هشت-وجهی و چندوجهی‌های خاکستری رنگ جایگاه چهاروجهی هستند.

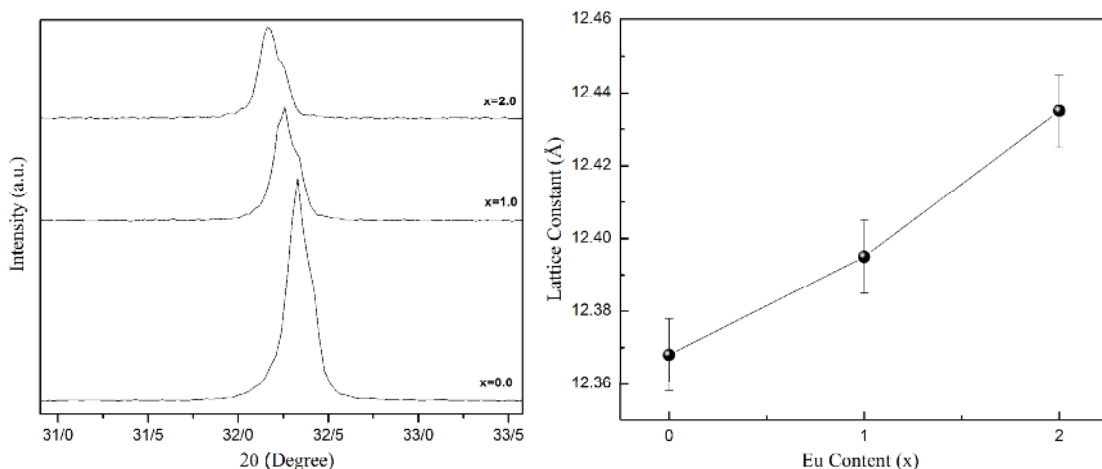
آنها مشاهده نمی‌شود. از آنجا که افزایش دما مؤثرترین عامل در افزایش اندازه‌ی ریز بلورک‌ها و افزایش بلوری شدن است، در شرایط دمایی یکسان تغییرات زیادی در اندازه‌ی ریز بلورک‌ها مشاهده نمی‌شود [۱۱]. تغییرات ثابت شبکه بر حسب مقادیر جانشانی در شکل ۳ نشان داده شده‌اند. چنانکه مشاهده می‌شود با جانشانی یوروبیوم در این ترکیب ثابت شبکه افزایش می‌یابد که این افزایش به دلیل بزرگتر بودن شعاع یونی Eu^{3+} (1.075\AA) در مقایسه با شعاع یونی Y^{3+} (1.016\AA) است. اندازه بلورک‌ها و ثابت شبکه در جدول ۱ گزارش شده است.

بحث و بررسی بررسی ویژگی‌های ساختاری

الگوهای پراش پرتو ایکس ذرات گارنت ایتریوم آهن جانشانی شده با یوروپیوم $\text{Eu}_x\text{Y}_{3-x}\text{Fe}_5\text{O}_{12}$ و مقادیر جانشانی $x = 0.0, 1.0, 2.0$ (JPCDS ۰۳۳-۰۶۹۳) در شکل ۲ آورده شده‌اند. همه‌ی الگوهای پراش با کارت استاندارد (JPCDS ۰۳۳-۰۶۹۳) همخوانی داشته‌اند و تشکیل ساختار تک فاز گارنت برای هر سه نمونه را تایید می‌کنند. میانگین اندازه‌ی بلورک‌ها با استفاده از رابطه‌ی دبای-شرر در گستره‌ی $51-53$ نانومتر محاسبه شد. اندازه‌ی ریز بلورک‌ها نزدیک به هم بوده و تغییرات چندانی در



شکل ۲ الگوهای پراش پرتو ایکس نمونه‌های $\text{Eu}_x\text{Y}_{3-x}\text{Fe}_5\text{O}_{12}$ با مقادیر جانشانی ($x = 0.0, 1.0, 2.0$)



شکل ۳ تغییرات ثابت شبکه و الگوهای پرتوایکس در بازه‌ی $31-34$ درجه نمونه‌های $\text{Eu}_x\text{Y}_{3-x}\text{Fe}_5\text{O}_{12}$ با مقادیر جانشانی ($x=0.0, 1.0, 2.0$)

جدول ۱ مقادیر اندازه بلورکها و ثابت شبکه نمونه‌ها.

اندازه ریز بلورک‌ها ($D(nm)$)	ثابت شبکه ($a(\text{\AA})$)	مقدار جانشانی یوروپیوم (x)
۵۳	۱۲,۳۶۸	.
۵۳	۱۲,۳۹۵	۱,۰
۵۱	۱۲,۴۳۵	۲,۰

ایجاد نوار جدید، جایه‌جایی نوارها و جداشدگی در جایگاهی که جانشانی انجام شده و در جایگاه‌های دیگر فقط پهن شدگی و جایه‌جایی رخ می‌دهد [۱۵]. بنابراین جایه‌جایی و پهن شدگی در بیناب فروسرخ دور نمونه‌ها به دلیل جانشانی Eu^{3+} در جایگاه دوازده وجهی است.

در شکل ۵ بیناب‌های رامان نمونه‌های $\text{Eu}_x\text{Y}_{3-x}\text{Fe}_5\text{O}_{12}$ و مقادیر جانشانی (۰.۰, ۱.۰, ۲.۰) ($x = 0.0, 1.0, 2.0$) نشان داده شده‌اند. ۲۵ مد ارتعاشی در بیناب های رامان گارنت‌ها مورد انتظار است [۱۶]. این ۲۵ مد شامل، دو مد کششی متقارن جایگاه چهار وجهی (v_1), چهار مد خمسی نامتقارن جایگاه هشت وجهی (v_2), چهار مد کششی متقارن جایگاه چهار وجهی (v_3), چهار مد خمسی نامتقارن هشت وجهی (v_4), چهار مد انتقالی کاتیون‌های جایگاه هشت وجهی (T_0) و سه مد انتقالی کاتیون‌های جایگاه دوازده وجهی (T_d) است [۱۶].

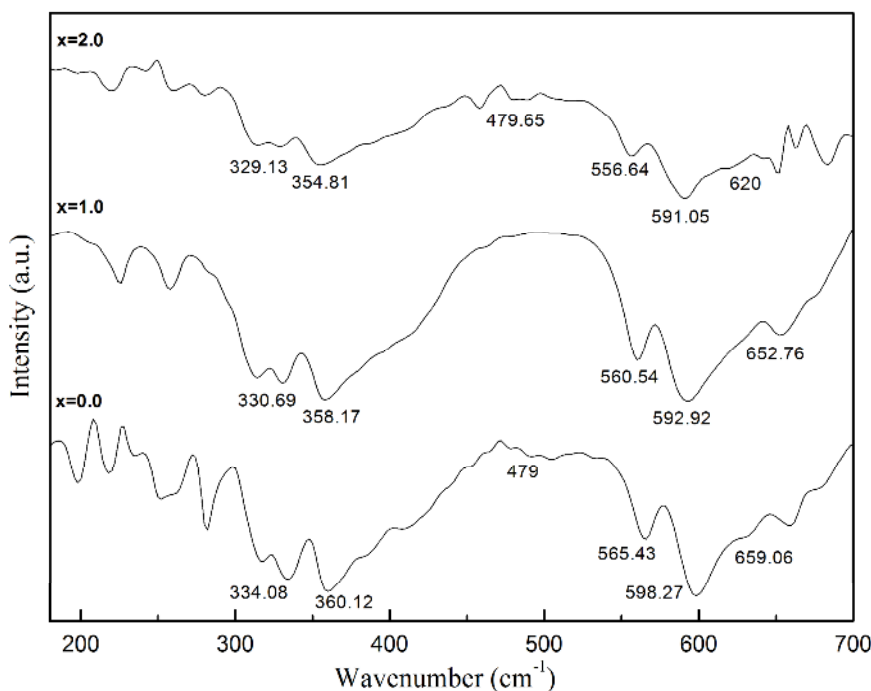
با توجه به شکل ۵ مشاهده می‌شود که قله‌ی اصلی در 364cm^{-1} است که نشان دهنده‌ی فاز گارنت برای تمامی نمونه‌هاست. قله‌های موجود در 512cm^{-1} و 449cm^{-1} و 364cm^{-1} و 159cm^{-1} نشان دهنده‌ی ارتعاشات کاتیون‌های جایگاه دوازده وجهی هستند [۱۷]. این مدها به آهستگی با افزایش جانشانی دستخوش پهن شدگی شده‌اند، پدیده‌های این چنینی ممکن است به علت تنفس ناشی از جانشانی یون Eu^{3+} در ساختار باشد. قله‌های مشاهده شده در 677cm^{-1} و 587cm^{-1} مربوط به مدهای کششی نامتقارن جایگاه چهار وجهی (v_3) هستند [۱۷].

شدت قله‌های بالای 800cm^{-1} با افزایش میزان جانشانی کاهش یافته و حتی برخی از آنها نیز از بیناب رامان حذف شده‌اند. دلیل این پدیده را می‌توان به بزرگتر بودن یون Eu^{3+} نسبت به Y^{3+} وابسته دانست، زیرا جانشانی یون Eu^{3+} باعث سنگین‌تر شدن جایگاه دوازده وجهی شده و منجر به کم شدن ارتعاشات آن می‌شود، و نیز با توجه به شکل ۵ مشاهده می‌شود که هیچ جایه‌جایی در عدد موج قله‌ها دیده نمی‌شود.

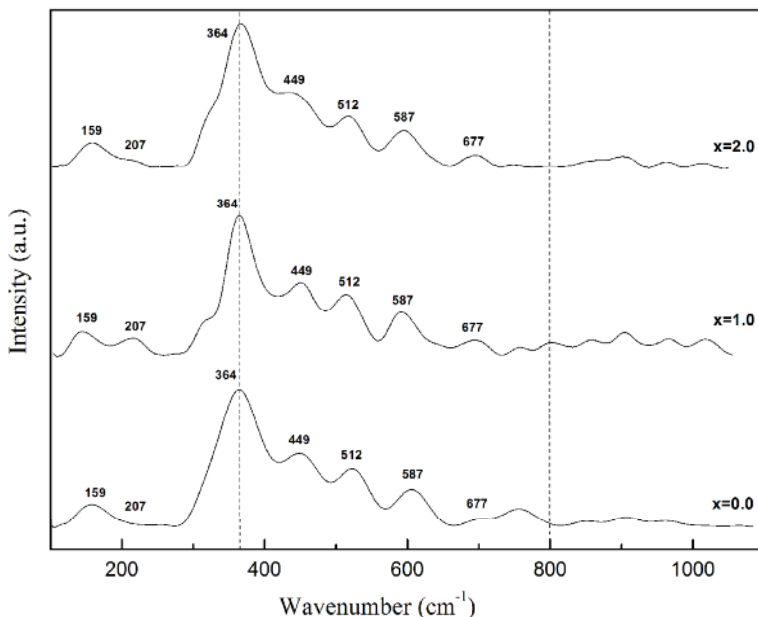
برای بررسی ارتعاشات یون اکسیژن با کاتیون‌های موجود در ساختار YIG بیناب‌های تبدیل فوریه‌ی فروسرخ دور نمونه‌های $\text{Eu}_x\text{Y}_{3-x}\text{Fe}_5\text{O}_{12}$ با مقادیر جانشانی ($x = 0.0, 1.0, 2.0$) با استفاده از Far-FTIR گرفته شد که در شکل ۴ نشان داده شده‌اند. براساس بررسی‌های گزارش شده، ۱۷ مد ارتعاشی فعال در بیناب IR گارنت‌ها، مورد انتظار است که این ۱۷ مد شامل، سه مد کششی نامتقارن جایگاه چهار وجهی (v_3)، سه مد خمسی نامتقارن و یک مد خمسی متقارن جایگاه هشت وجهی (v_4, v_2)، دو مد چرخشی و یک مد انتقالی جایگاه چهار وجهی (R, T) سه مد انتقالی کاتیون‌های جایگاه هشت وجهی (T_0) و سه مد انتقالی کاتیون‌های جایگاه دوازده وجهی (T_d) است [۱۲].

در این پژوهش با توجه به محدودیت‌های اندازه‌گیری، نوارهای IR زیر 228 cm^{-1} قابل ثبت نبودند. نوارهای موجود در $565/43\text{ cm}^{-1}$ و $598/27\text{ cm}^{-1}$ و $659/06\text{ cm}^{-1}$ مربوط به مد ارتعاشی v_3 در $\text{Y}_3\text{Fe}_5\text{O}_{12}$ ($x = 0$) هستند. نوارهای موجود در 479cm^{-1} و $360/12\text{cm}^{-1}$ به ترتیب مربوط به v_4 و v_2 هستند. نوار IR موجود در $334/08\text{cm}^{-1}$ مربوط به مد ارتعاشی T_0 است [۱۳].

با توجه به شدت جذب نوارهای ارتعاشی در شکل ۴، مشاهده می‌شود که این شدت‌ها در جایگاه چهار وجهی نسبت به جایگاه هشت وجهی برای همه نمونه‌ها بیشتر است. با توجه به اولین قانون انتخاب، انتقال بین مدارهای d در جایگاهی که تقارن مرکزی دارد ناممکن است. به همین دلیل کمبود تقارن مرکزی، انتقال بین مدارهای d را ممکن می‌کند. با توجه به اینکه جایگاه چهار وجهی دارای تقارن مرکزی کمتری در مقایسه با جایگاه هشت وجهی است، بنابراین مشاهده شدت جذب شدیدتر برای نوارهای جایگاه چهار وجهی قبل انتظار است [۱۴]. بیناب‌های IR برای همه نمونه‌ها یک جایه‌جایی کوچک در نوارهای جذب را نشان می‌دهد. بر اثر جانشانی تغییراتی در بیناب‌های IR پدید می‌آیند که بدین شرح‌اند:



شکل ۴ طیف‌های تبدیل فوریه فروسرخ دور نمونه‌های $\text{Eu}_x\text{Y}_{3-x}\text{Fe}_5\text{O}_{12}$ با مقادیر جانشانی ($x = 0.0, 1.0, 2.0$)



شکل ۵ طیف‌های رامان نمونه‌های $\text{Eu}_x\text{Y}_{3-x}\text{Fe}_5\text{O}_{12}$ با مقادیر جانشانی ($x = 0.0, 1.0, 2.0$)

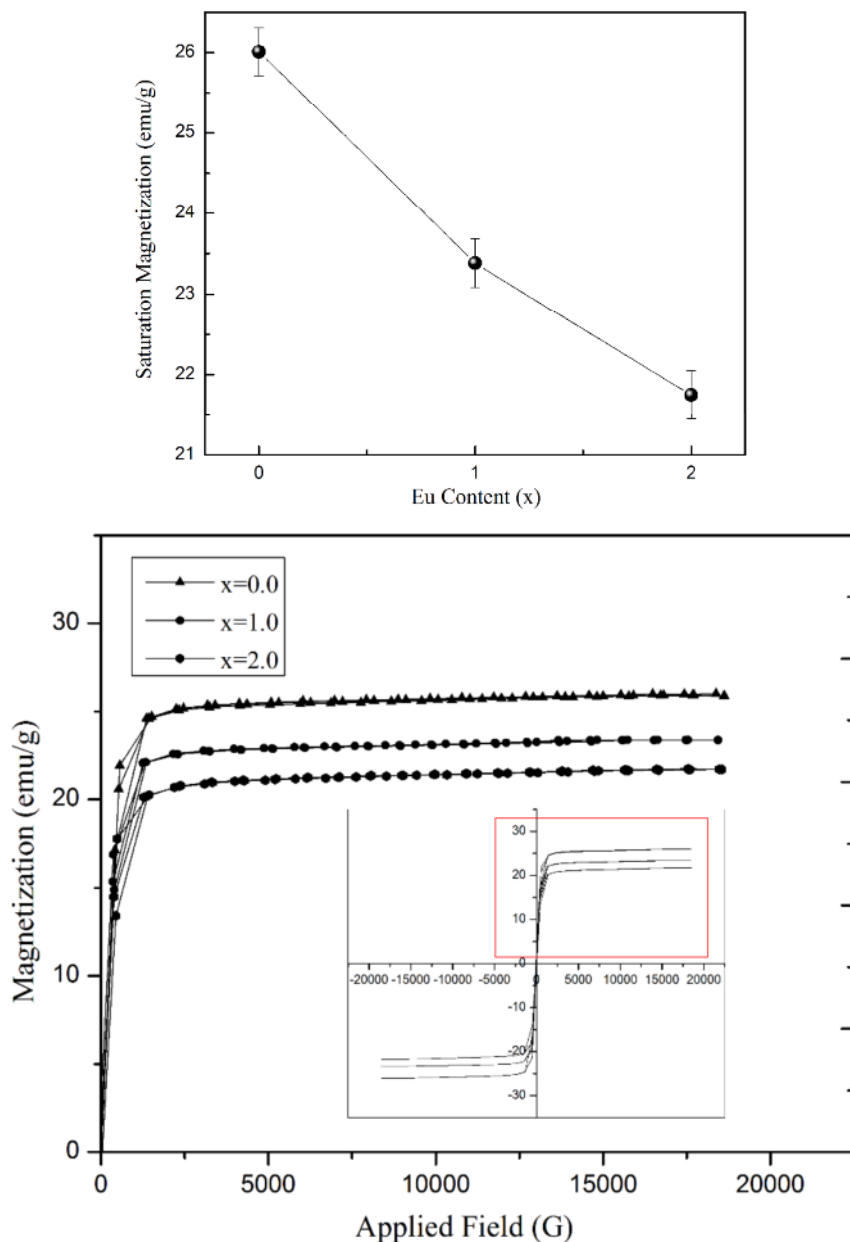
بررسی ویژگی‌های مغناطیسی
مغناطش اشباع نمونه‌ها با افزایش میزان جانشانی یون Eu^{3+} کاهش می‌یابد. بر مبنای نظریه نیل، گشتاورهای مغناطیسی یون‌های آهن در زیر شبکه‌های a و d نسبت به یکدیگر دارای نظم پادفرومغناطیس هستند و مغناطش کل در ساختار YIG $M = |M_d - M_a| - M_c$ برابر است با [۱۸]:

شکل ۶ منحنی پسماند مغناطیسی نمونه‌های $\text{Eu}_x\text{Y}_{3-x}\text{Fe}_5\text{O}_{12}$ با مقادیر جانشانی ($x = 0.0, 1.0, 2.0$) را در دمای اتاق نشان می‌دهد. تغییرات مغناطش اشباع (M_S) نمونه‌ها نیز بر حسب مقادیر جانشانی آورده شده‌اند. مقدار

درجات مختلف خواهد شد و تولید دو محیط شیمیایی متفاوت در اطراف زیرشبکه‌های آهن a و d می‌کند. با افزایش میزان جانشانی Eu^{3+} آشفتگی ایجاد شده، بسته به تعداد همسایگان Eu^{3+} افزایش، یافته است و سبب شکافت هر یک از زیر شبکه‌های a و d به چندین زیر شبکه مغناطیسی با جهت‌گیری اسپینی متفاوت خواهد شد و گشتاور مغناطیسی موثر تشکیل شده با Fe^{3+} کاهش یافته و منجر به کاهش مغناطش کل می‌شود که این همخوان با نتایج کارهای گذشته است [۲۰].

که مقدار مغناطش جایگاه c به دلیل وجود یون دیامغناطیس Y^{3+} در این جایگاه برابر صفر است. گشتاورهای مغناطیسی یون‌های Eu^{3+} در زیر شبکه c با برآیند گشتاورهای مغناطیسی یون‌های آهن در زیر شبکه‌های a و d به صورت پادفرو مغناطیسی سمت‌گیری می‌کنند، بنابراین روند کاهشی مشاهده شده با افزایش جانشانی یون Eu^{3+} در ساختار YIG قابل انتظار است [۱۹].

هنگامی که یونی با شعاع یونی بزرگتر از Y^{3+} وارد ساختار YIG می‌شود موجب آشفتگی در زیر شبکه‌های a و d با



شکل ۶ تغییرات مغناطش اشعاع و منحنی‌های پسماند مغناطیسی نمونه‌های $\text{Eu}_x\text{Y}_{3-x}\text{Fe}_5\text{O}_{12}$ با مقادیر جانشانی ($x = 0.0, 1.0, 2.0$)

- process", Journal of the American Ceramic Society 79 (12) (1996) 3257–3265.*
- [7] Menzer G., "Die kristall structure der granate", z. kristallogr 69 (1928) 300-396.
- [8] Xiaofeng Guo, Amir H.Tavakoli, Steve Sutton, Ravi Kukkudapu, Liang Qi, Antonio Lanzirotti, Matt Newvill, Mark Ast, and Alexandra Navortsky, "Cerium substitution in yttrium iron garnets, valence state, structure, and energetics", Journal of chemistry of materials (2013), ppA-K.
- [9] Hosseini Vajargah S., Maddah Hosseini H. R., Nemati Z. A., "Synthesis of nanocrystalline Yttrium iron garnets by sol-gel combustionprocess: The influence of PH of precursorsolution", Journal of Materials Science andEngineering B 129 (2006) 211-215.
- [10] Cullity B. D., "Elements of X-Ray Diffraction", Addison Wesley publishing company, Inc (1978) 284.
- [11] Cheng Z, Yang H, Yu L, Xu W. "Saturation magnetic properties of $Y_{3-x}Re_xFe_5O_{12}$ (Re: Gd, Dy, Nd, Sm and La) nanoparticles grown by a sol–gel method". Journal of Materials Science: Materials in Electronics, 19(2008) 442–447.
- [12] Hofmeister A. M., Campbell K.R., "Infrared spectroscopy of yttrium aluminum, yttrium gallium and yttrium iron garnets", Journal of Applied Physics 72 (1992) 638–646
- [13] Hofmeister A. M., "Infrared microspectroscopy. In H.J. Humecki, Ed., Practical Guide to Infrared Spectroscopy, 2nd ed", p. 377–416. Marcel Dekker, New York.
- [14] A Shaeel, Al-Thabait, "Synthesis and characterization of a new cobalt poly-meric spinels", Commun. dela Facult'e des Sci. de l'Universit'e d'Ankara 49 (2003) 5–14.
- [15] Hild E., Beregi E., "IR spectroscopic investigation of the garnet materials used in the microwave electronics", Chemical Engineering 30 (1986) 235–246.
- [16] Fechine. P.B.A., Silva. E. N., deMenezes. A.S., Derov. F., Stewart. J.W., Drehman. A.J., Vasconcelos. I.F., Ayala. A.P., Cardoso. L.P., Sombra. A.S.B., "Synthesis, structure and vibrational properties of $GdIG_x:YIG_{1-x}$ ferrimagnetic ceramic composite", Journal of

برداشت

در این پژوهش برای آماده سازی نمونه های $Eu_xY_{3-x}Fe_5O_{12}$ با مقادیر جانشانی ($x = 0.0, 1.0, 2.0$) از روش سل ژل استفاده شد و تحلیل الگوهای پراش پرتو ایکس ساختار تک فاز گارنت نمونه ها را تایید کرد. میانگین اندازه بلوک ها با افزایش جانشانی یوروپیوم از ۵۱ تا ۵۳ نانومتر محاسبه شد. ویژگی ها ساختاری نمونه ها به روش آنالیز Far-FTIR و Raman مورد بررسی قرار گرفتند و مدهای ارتعاشی مربوط به جایگاه های چهاروجهی و هشتوجهی و جایگاه دوازدهوجهی مشاهده شدند و جایه جایی در جایگاه نوارهای جذب نشان دهنده جانشانی یون یوروپیوم در ساختار گارنت بود. بررسی چرخه های پسماند مغناطیسی نمونه ها نشان داد که مغناطش اشباع با افزایش میزان جانشانی کاهش می یابد که این کاهش با در نظر گرفتن نظریه نیل و آشفتگی در شبکه بلوئی توضیح داده شد.

مراجع

- [1] Ristic M., Nowik I., Popovic S., Felner I., Music S., "Influence of synthesis procedure on the YIG formation", Materials Letters 57 (2003) 2584-2590.
- [2] Ravi B. G., Guo X. Z., Yan Q.Y., Gambino R. J., Sampath S., Parise J. B., "Phase evolution and magnetic properties of Al substituted yttrium iron garnet nanopowders and plasma-sprayed coatings", Surface and Coatings Technology 201 (2007) 7597-7605.
- [3] Wang C. C., Yu W. T., "Synthesis of yttrium iron garnet using polymer–metal chelate precursor", Journal of Colloid and Interface Science 306 (2007) 241-247.
- [4] Lee J. W., Oh J. H., "Magneto-optical properties of Bi-YIG nanoparticles dispersed in the organic binder", Journal of Magnetism and Magnetic Materials 272 (2004) 2230-2232.
- [5] Di Biccari A., "Sol-gel processing of $R_xY_{3-x}Al_yFe_{5-y}O_{12}$ magneto-optical films," M.S. thesis, Materials Science & Engineering Department, Blacksburg, Va, USA, 2002.
- [6] Shea L. E., McKittrick J., Lopez O. A., Sluzky E., "Synthesis of red-emitting, small particle size luminescent oxides using an optimized combustion

- [19] Mizumaki. M.T., Uozumi. A., Agui. N., Nakazawa. M, "Admixture of excited states and ground states of a Eu³⁺ ion in Eu₃Fe₅O₁₂ by means of magnetic circular dichroism", Physical Review B 71 (2005) 134416.
- [20] Cheng Z, Cui Y, Yang H, Chen Y. 2009. "Effect of lanthanum ions on magnetic properties of Y₃Fe₅O₁₂ nanoparticles". Journal of Nanoparticle Research, 11: 1185–1192.
- Physics and Chemistry of Solids 70 (2009) 202–209.
- [17] Wu H, Huang F, Xu T, Ti R, Lu X, Kan Y, Lv X, Zhu W, Zhu J, "Magnetic and magnetodielectric properties of Y_{3-x}La_xFe₅O₁₂ ceramics", Journal of Applied Physics 117, (2015) 144101.
- [18] Thongmee S., Winotai P., Tang I.M., "Local field fluctuations in the substituted aluminum iron garnets, Y₃Fe_{5-x}Al_xO₁₂", Solid State Communications 109 (1999) 471-476.